



REVISTA OFICIAL · Nº 6 · 2016 FEDERACION ESPAÑOLA DE ASOCIACIONES DE ENOLOGOS



El XI Concurso Tempranillos al Mundo y el Certamen de Vinos Blancos Gallegos destacó por la calidad de los vinos que participaron

El encomiable apoyo institucional y la bella ciudad de Ourense contribuyeron a alcanzar la excelencia en el concurso



Siempre de la mano de los Enólogos en defensa de nuestra profesión



Índice de contenidos

| 4 | Editorial | 38 Eventos: D.O. Ribeiro |
|----|--|--|
| 6 | Noticias profesionales | 40 Eventos: Bodegas Ramón Do Casar |
| 12 | Entrevista: Juan Manuel Casares Gándara | 42 Eventos: Visita a Ourense y Ribadavia |
| 16 | Entrevista: Félix Cabello Sáenz | 44 Reportaje: Vinos de Aragón |
| 20 | Entrevista: Bodegas San Isidro | 50 Viticultura: Monastrell |
| 24 | Eventos: ENOMAQ | 56 Investigación: Producto Vegecoll® Laffort |
| 30 | Eventos: XI Edición del Concurso Tempranillos al Mundo | 62 Actualidad empresarial |



Organigrama

"FEAE. Revista Oficial" es una publicación de la Federación Española de Asociaciones de Enólogos.

Dirección: C/Padilla, 38-28006 Madrid.

Teléfono: 649 478 724 / 629 904 796. http://www.federacionenologos.es E-mail: presidente@federacionenologos.es, secretario@federacionenologos.es

Junta Gestora: Presidente: Santiago Jordi Martín. Secretario: Enrique Bitaubé Pérez. Tesorera: Ana Jiménez Cantizano. Contador: Lucas

Bellón Mena

Dirección y Realización: Federación Española de Asociaciones de Enólogos. E-mail: comunicacion@federacionenologos.es

Redacción: Emiliano Soto, Enrique Bitaubé, Feria de Zaragoza.

Fotografía: Archivos de la FEAE, Miguel Lara Benítez, Ayuntamiento de Ourense, EVEGA e IMIDRA.

Diseño: Juan Pedro Fernández Navarro ; Portada y contraportada: Rebeca Moca

Impresión: Tórculo Andalucía

Suscripciones 649478724 / 629904796 / comunicacion@federacionenologos.es

Reactividad Vegecoll®, extracto de proteínas de patata, con los compuestos fenólicos durante el encolado de mostos y de vinos

Nerea Iturmendi¹, Leticia Cancho², Aida Vazquez², Philippe Louazil¹, Victor Puente² y Virginie Moine¹

¹ Biolaffort-Departamento de I+D+i, Burdeos (Francia).

INTRODUCCIÓN:

Las proteínas de patata fueron autorizadas como clarificantes de mostos y vinos en diciembre 2013 por la Unión Europea (Reglamento UE n° 1251/2013) y por la Organización Internacional de la Viña y del Vino (OIV) (Oeno 495-2013). Este tipo de proteína se une a otros de origen vegetal como el guisante y el trigo que fueron autorizados en 2005.

La acción clarificante de proteínas vegetales ha sido estudiada en enología al principio de los años 2000 por Lefebvre et al. (2000). Otro de los intereses principales de la utilización de alternativas vegetales es su bajo potencial alérgico. Las proteínas de patata son utilizadas en la industria agroalimentaria ya que se caracterizan por presentar un bajo riesgo alérgico (Castells et al., 1986) y por sus propiedades emulsionantes (Holm & Eriksen, 1980). Es por ello que desde 2009, el equipo de I+D+i de la empresa Laffort en colaboración con el Instituto de Avelino (Universidad de Nápoles Federico II) se ha interesado en los extractos proteicos de patata. Este trabajo ha llevado a la selección de un extracto comercializado bajo el nombre de Vegecoll®.

Los estudios publicados en los últimos años indican que este nuevo origen es eficaz en la eliminación de compuestos fenólicos asociados a la percepción de astringencia de vinos Aglianico (Rinaldi et al., 2011; Gambuti et al., 2011) y en la cinética de clarificación de vinos tintos de Cabernet sauvignon y Merlot (Moine et al., 2012). Esta proteína ha sido utilizada igualmente en el encolado de mostos blancos (Renouf et al., 2013), cuyas principales ventajas son su acción clarificante y la preservación aromática. La eliminación de compuestos fenólicos por la clarificación, evita que éstos sean transformados en quinonas en presencia de oxígeno. Estos compuestos han sido identificados como moléculas altamente reactivas con compuestos aromáticos del grupo tiol (Nikolantonaki et al., 2010).

Este articulo tiene como objetivo presentar las características fisicoquímicas de Vegecoll® así como los resultados obtenidos con este extracto durante la campaña 2015 en mostos blancos y en vinos blancos y rosados.

MATERIAL Y MÉTODOS:

Caracterización de proteínas para el encolado: aspectos físicos y coloidales

La determinación de la distribución de masas moleculares es realizado con la técnica de electroforesis utilizando el sistema automático microfluidico ExperionTM (BioRad). El tamaño de partícula y el potencial Zeta son dos nuevos parámetros que permiten predecir el poder clarificante de proteínas en el vino

(Iturmendi et al., 2012) y que son medidos gracias al *ZetaSizer* Nano (Malvern, Alemania) en solución modelo de vino.

Encolado

Los ensayos son realizados en mostos y vinos durante 2015. Los ensayos en Francia son realizados en mostos de Sauvignon blanc en conos Imhoff a temperatura de 7 °C y durante 16 horas. Vegecoll® es utilizado a 5 y a 10 g/hL y comparado con la proteína de guisante a 20 y a 50 g/hL y con un producto a base de quitina a 10 y a 20 g/hL.

Los ensayos en vino blanco son realizados con las variedades españolas: Macabeo (Cataluña) y Airén (Castilla La Mancha). Un ensayo también ha sido realizado sobre un vino rosado de la variedad Bobal (Valencia). Vegecoll® es utilizado a 20 g/hL y comparado con Casei Plus (caseinato de potasio), Ictyocolle (cola de pescado) y Viniclar® (PVPP) a la misma dosis. Los ensayos son realizados en conos Imhoff de un litro.

Análisis

En los ensayos en Francia, la medida de la turbidez, la Intensidad Colorante Modificada (ICM), suma de absorbancias 420, 520 y 620 nm, y el IPT, calculado a partir de la absorbancia de 280 nm, son realizados. El nivel de oxidación de mostos antes y después del encolado es determinado gracias al aparato Nomasens® Polyscan B200 (Nomacorc). Este aparato permite aplicar un barrido de voltaje de 0 a 1,2 V, con una velocidad de barrido de 100 mV/s, sobre una muestra de mosto o vino produciendo la oxidación de compuestos fenólicos (Ugliano et al., 2015). Los resultados son expresados en forma de diagrama de voltaje, variación de I/nA en función de la variación de voltaje (E/mV).

En el caso de los ensayos en vino, los siguientes análisis son realizados: la absorbancia de 420 nm para medir el color del vino, el IPT y el contenido en compuestos fenólicos determinado por el test de vainillina (Sun et al., 1998) expresado en equivalente categuina (mg/L).

RESULTADOS Y DISCUSIÓN:

Caracterización de Vegecoll®

El extracto de proteínas de patata Vegecoll® presenta una distribución de masas moleculares de 10 a 100 kDa, que es similar a la de la proteína de guisante (Figura 1). Este extracto presenta principalmente proteínas a 40 y a 27 kDa. La proteína de 40 kDa corresponde a la patatina, una de las glicoproteínas más abundantes en la patata (Solanum tuberosum). Esta glicoproteína presenta la misma masa molecular que la ovoalbúmina, proteína principal de la clara de huevo. Por lo tanto, esta característica podría tener un interés principal para el encolado.

² Laffort España

| | Potencial Zeta (mV)* | Tamaño de particulas (nm)* |
|--------------------------------|----------------------|-------------------------------|
| Proteina de patata (Vegecoll*) | 17,9 + 1,5 | 250-715 (78%) |
| Gelatina 1 | -14,6 + 0,9 | 1-3 |
| Gelatina 2 | 11,2 ± 0,4 | 3-10 (97,7%) |
| Gelatina 3 | 13,3 ± 0,2 | 3-10 (96,6%) |
| Albúmina de huevo | 11,6 ± 0,3 | 51-220 (62,3%) |
| Proteína de guisante | -1,7±0,2 | 250-830 (99%) |

^{*}en solución modelo de vino (4 g/L de acido tartárico, 12% (v/v) de etanol y a pH 3,60).

Cuadro 1: Potencial Zeta (mV) y tamaño de partículas (nm) de colas tradicionales y de Vegecoll®.

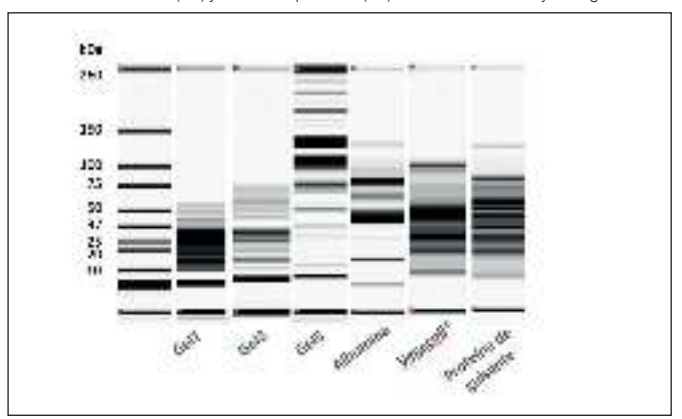


Figura 1: Distribución de masas moleculares por electroforesis (Experion®, Bio-Rad) de gelatinas, albumina de huevo (Alb), Vegecoll® y la proteína de guisante.

Hoy en día otras características fisicoquímicas son propuestas para explicar el poder clarificante de una cola. Según nuestros últimos resultados (Iturmendi et al., 2012), el poder clarificante de una cola en vino tinto está correlacionado con el potencial Zeta de la proteína. Esta característica permite conocer el potencial creado entre la proteína y el medio que la rodea, estableciendo su estabilidad en el mismo. Este factor de inestabilidad ha sido correlacionado con la velocidad de sedimentación, sin embargo esta correlación no es lineal sino cuadrática no centrada en cero (mínimo encontrado en valores en torno a -5 mV). De esta manera, las colas con un fuerte valor de potencial Zeta (negativo o positivo) presentan una velocidad de sedimentación rápida y las proteínas con valores cercanos a - 5 mV, velocidades de sedimentaciones más lentas. La cinética de sedimentación depende igualmente de otro factor: el tamaño de partícula. Un tamaño de partícula pequeño aumenta la superficie de contacto y por lo tanto estos dos parámetros van a determinar el tamaño de los flóculos así como su velocidad de sedimentación.

En el cuadro 1 se indican los valores de potencial Zeta y de tamaño de partículas de Vegecoll® en comparación con las colas tradicionales (gelatinas y albumina de huevo) y con la proteína de guisante. El extracto de proteínas presenta un potencial Zeta superior al resto de proteínas indicando que esta proteína se caracteriza por una velocidad de sedimentación superior en el encolado. Vegecoll® contiene una concentración elevada de proteína que le confiere una gran reactividad con los compuestos fenólicos. Todo ello hace que el dominio de aplicación de este extracto sea polivalente tanto en el encolado de blancos y rosados así como en el de tintos.

Encolado en mosto

Los objetivos principales del encolado de mostos blancos y rosados son la disminución de la turbidez, la corrección del color y la eliminación de compuestos fenólicos oxidables y/o oxidados. Los compuestos fenólicos en presencia de oxígeno, son oxidados y se transforman en quinonas, responsables de la perdida aromática debido a la formación de combinaciones con los tioles volátiles (Sarrazin et al., 2007; Nikolantonaki et al., 2010). La reactividad de los compuestos aromáticos con las quinonas es variable. El tiol 3-sulfanilhexan-1-ol (3SH) y por consecuencia, su forma en acetato (A3SH) son los más sensibles a este fenómeno (Nikolantonaki et al., 2010). De todos los compuestos fenólicos estudiados, la catequina, la epicatequina y ciertos ácidos fenoles (ácido caftárico) han sido descritos como los compuestos más oxidables y por tanto sus quinonas son responsables de la mayor pérdida aromática (Cheynier et al., 1990; Nikolantonaki et al., 2012).

Los ensayos en mosto son realizados sobre dos Sauvignon blanc de gota y en este caso, Vegecoll® ha sido comparado con dos proteínas no tradicionales: la proteína de guisante y la quitina. Los resultados de turbidez (Cuadro 2) indican que el extracto de proteína de patata es la cola la más eficaz en la reducción de este parámetro independientemente del mosto utilizado.

En cuanto a su acción sobre el color, los resultados muestran que las proteínas son capaces de disminuir las absorbancias 420 y 520 nm, asociadas al color amarillo y rojo respectivamente, y por lo tanto indicador del fenómeno de pardeamiento asociado a la oxidación. El extracto de patata, debido a su concentración elevada en proteína, puede ser utilizada a dosis bajas en mostos de gota, entre 5 y 10 g/hL. En estas dosis, el efecto de Vegecoll® es equivalente al obtenido con la proteína de guisante utilizada a dosis superiores (a 20 y a 50 g/hL) o a la quitina, utilizada a 20 g/hL (Figura 2). Por otro lado, la acción del encolado depende del mosto utilizado: la disminución del color es superior en el mosto de gota 1 que 2. Igualmente, se observa que el efecto del encolado no es proporcional a la dosis de cola utilizada como habíamos observado en publicaciones previas.

La acción del encolado sobre los compuestos fenólicos, medidos gracias al IPT, es similar por las tres proteínas con una reducción de entorno al 5% (Cuadro 2). Sin embargo, los resultados de Nomasens® Polyscan indican que existen diferencias entre las proteínas. La región del diagrama de 200 a 600 mV corresponde a los compuestos fenólicos fácilmente oxidables, como la catequina y los ácidos cafeico, caftárico y gálico. Y los valores representados a partir de 780 mV corresponden a compuestos

| | Testigo | Vegecoll* 5 g/hL | Vegecoli [®] 10 g/hL | Proteina de guisante 20 g/hL | Proteina de guisante 50 g/hL | Quitina 10 g/hL | Quitina 20 g/hL |
|------------------------|---------|---------------------|----------------------------------|------------------------------------|------------------------------------|--------------------|--------------------|
| Mosto 1 Sauvignon Blar | nc | | | 1797777 | 1 1000 5 | | 2 |
| Turbidez (NTU) | > 1 000 | 8,9 | 8,3 | 16,1 | 17,7 | 10,9 | 10,6 |
| IPT (DO280) | 6,86 | 6,78 | 6,7 | 6,6 | 6,4 | 6,86 | 6,82 |
| Mosto 2 Sauvignon Blar | nc | | | | | | |
| Turbidez (NTU) | > 1 000 | 12,3 | 11,1 | 15 | 16,2 | 11,8 | 8,5 |
| IPT (DO280) | 5,92 | 5,56 | 5,62 | 5,5 | 5,4 | 5,6 | 5,54 |

Cuadro 2: Turbidez e Índice de polifenoles totales de los mostos 1 y 2 de Sauvignon Blanc (2015) clarificados con Vegecoll®, proteína de guisante y quitina.

| | | Testigo | Vegecoll* 5 g/hL | Vegecoll ^e 10 g/hL | Proteina de guisante 20 g/hL | Proteina de guisante 50 g/hL | Quitina 10 g/hL | Quitina 20 g/hL |
|---------|--------|---------|---------------------|----------------------------------|------------------------------------|------------------------------------|--------------------|--------------------|
| Mosto 1 | A420 | 0,06 | 0,05 | 0,049 | 0,047 | 0,045 | 0,051 | 0,049 |
| | A520 | 0,014 | 0,008 | 0,008 | 800,0 | 0,007 | 0,009 | 800,0 |
| | A620 | 0,008 | 0,002 | 0,002 | 0,003 | 0,002 | 0,003 | 0,002 |
| | SCIM | 0,08 | 0,06 | 0,059 | 0,058 | 0,054 | 0,063 | 0,059 |
| Mosto 2 | A420 | 0,058 | 0,057 | 0,058 | 0,056 | 0,057 | 0,056 | 0,055 |
| | A520 | 0,008 | 0,007 | 0,008 | 0,007 | 0,009 | 0,006 | 0,005 |
| | A620 | 0,002 | 0,002 | 0,003 | 0,002 | 0,004 | 0,001 | 0,001 |
| | 30,000 | 0,068 | 0,066 | 0,069 | 0,065 | 0,07 | 0,063 | 0,061 |

Figura 2: Intensidad colorante (A420 + A520 + A620) de los mostos 1 y 2 de Sauvignon Blanc (2015) clarificados con Vegecoll®, proteína de guisante y quitina.

fenólicos menos oxidables pero igualmente importantes como el ácido cumárico y felúrico (Ugliano et al., 2015). Los resultados de las medidas realizadas en el mosto 1 (Figura 3) y 2 (Figura 4) indican que Vegecoll® reduce de manera más importante los compuestos fenólicos totales que la proteína de guisante y que la quitina. En el mosto 1, Vegecoll® parece actuar sobre todos los compuestos fenólicos mientras la proteína de guisante y la

quitina actúan sobre los compuestos fenólicos fácilmente oxidables. En el mosto 2, la proteína de guisante modifica ligeramente el contenido de compuestos oxidables y Vegecoll® disminuye de manera significativa el perfil completo. Estos resultados indican que esta proteína presenta un espectro de acción amplio en comparación con otras proteínas de origen vegetal (guisante) o de origen fúngico (quitina).

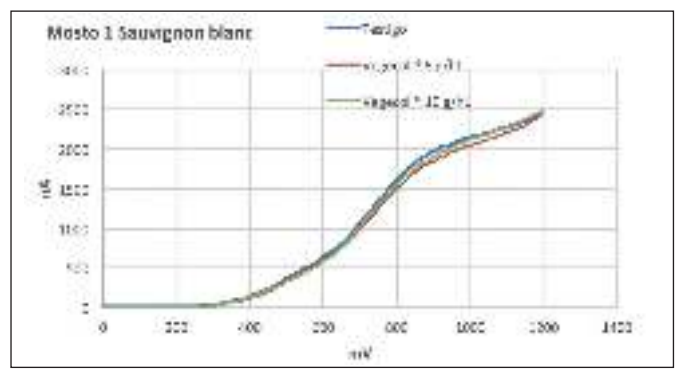


Figura 3a

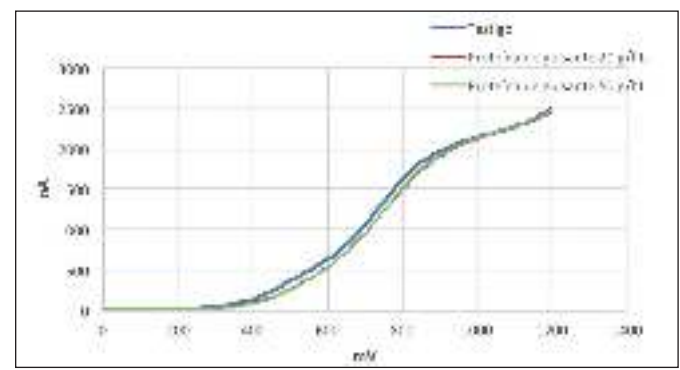


Figura 3b

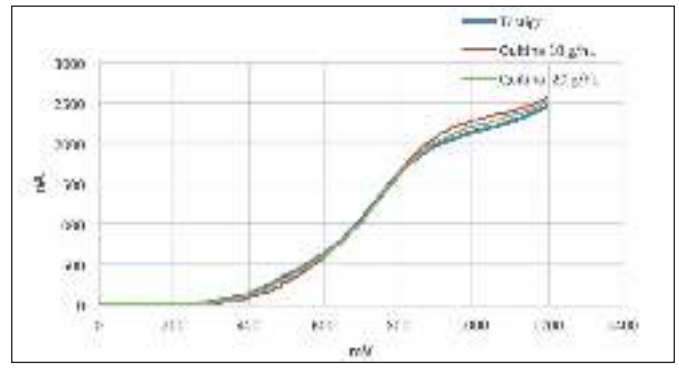
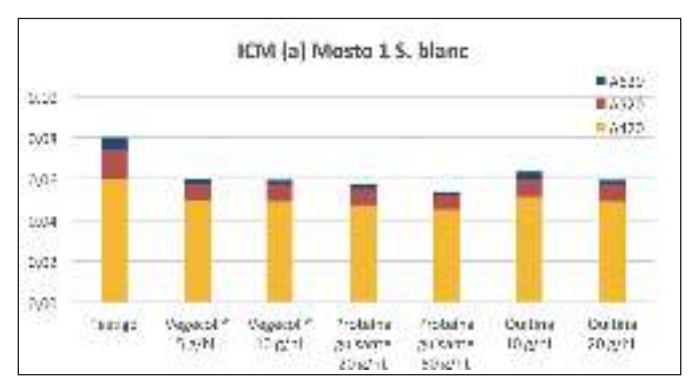


Figura 3c



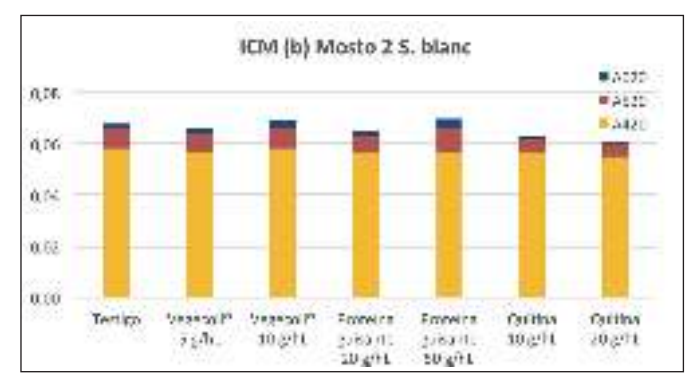


Figura 2a

Figura 2b

Figura 3: Diagrama de oxidación del mosto 1 Sauvignon blanc en función de la variación de voltaje y los mostos encolados con Vegecoll®, proteína de guisante y quitina.

| Mark Co. | testigo | Magazath 5 g/H | Vegetalf 10 g/h. | | Proteira de guisante 50 g/fil. | Quitino to g/st | Guiro 20 g/h | 4.2 | (estigo | Organia 5 g/hi | Vegetal! 10 g/fa | | Proteina de guisante 50 g/lis. | Quitino to | Garico 20 g/hc |
|------------|----------|-------------------|---------------------|------------|--------------------------------------|--------------------|-----------------|------------|--------------|-------------------|---------------------|-------|--------------------------------------|----------------------|-------------------|
| Wood L | 1/ | 1/ | 1/ | 17 | 1/ | 17 | 1/ | 001 | 147 | 619 | 551 | 5/19 | 719 | 605 | 210 |
| 10 | 17 | 17 | 17 | 17 | 17 | 37 | 17 | 613 | 575 | 647 | 650 | 577 | 577 | 647 | 361 |
| 70 | 17 | 17 | 17 | 37 | 17 | 77 | 17 | 625 | 711 | 6/2 | 551 | 619 | 519 | 689 | 550 |
| 25 | 17 | 3.7 | 17 | 1. | 17 | 12 | 17 | 634 | 745 | ALS | 756 | bol | 251 | 734 | /21 |
| 41 | 17 | 2. | 1/ | 17 | 17 | 2.0 | 17 | 644 | 75.7 | 741 | 715 | 633 | 251 | 771 | 770 |
| 40 | 1/ | 17 | 17 | 3.6 | 17 | 2/ | 17 | 655 | 274 | 779 | 257 | 73 | 722 | 817 | 201 |
| 22 | 12 | 17 | 17 | 17 | 17 | 17 | 17 | 669 | 574 | 819 | 250 | 783 | 757 | 857 | 244 |
| 70 | 17 | 1/ | 17 | 17 | 17 | 17 | 17 | 6/3 | 227 | 91.1 | 527 | 829 | 829 821 | 899 | 210 |
| 51 11 | 17 | 27 | 1/ | 17 | 1/ | 17 | 17 | 691 | 1027 | 955 | 583 | 927 | 527 | 997 | 541 547 |
| 100 | 17 | 17 | 17 | 17 | 17 | 17 | 17 | 704 | 108 | 108 | 1035 | 969 | 909 | 1783 | 1035 |
| Lie. | 17 | 17 | 17 | 17 | 17 | 17 | 17 | 713 | 113/ | 0053 | 100: | 1015 | 102: | 1110 | 1002 |
| 1.00 | 17 | 17 | 17 | 17 | 17 | 47 | 17 | 721 | 1194 | 1100 | 1151 | 1061 | 1041 | 2255 | 1150 |
| 12) | 17 | 17 | 17 | 37 | 17 | 27 | 17 | 731 | 1243 | 1,105 | 1200 | 1137 | 1132 | 1771 | 1207 |
| 130 | 17 | 17 | . 17 | 17 | 17 | 17 | 17 | 744 | 1301 | 1209 | 1261 | 1155 | 1191 | 1277 | 1277 |
| 145 | 37 | 17. | 17 | 17 | 17 | 17 | 17 | 754 | 1301 | 1266 | 130: | -240 | 1249 | 1244 | 1333 |
| 152 | 17 | 15 | 17 | 17 | 17 | 17 | 17 | 103 | 141.4 | 1319 | 1361 | 1306 | 1305 | 3436 | 1381 |
| 168 | 17 | 17 | 17 | 17 | 17 | 17 | 17 | 774 | 1/14 | 1.556 | 1/1/ | 1261 | 12961 | 3459 | 1/41 |
| 102 | 17 | 17 | 17 | 2.0 17 | 17 | 37 | 17 | 701 | 1529 | 1117 | 1/61 | 1404 | 1479 | 1727 | 150 |
| 200 | 17 | 17 | 17 | 17 | 17 | 17 | 17 | 794 802 | 1589 | 168 | 15.5 | 1515 | 152) | 1995 19 41 | 1557 |
| 208 | 17 | 12 | 17 | 1.5 | 17 | 17 | 17 | 814 | 1682 | 1:57 | 16.1 | 255/ | 15/1 | 2554 | 1bc: |
| 214 | 17 | 1/ | 1/ | 1/ | 1/ | 2, | 1/ | 621 | 1727 | 1700 | 1677 | 2015 | 1622 | 4257 | 1727 |
| 225 | 17 | 2.6 | 1/ | 27 | 17 | 17 | 17 | 833 | 1764 | 241 | 1697 | 1655 | 1609 | 1279 | 1767 |
| 237 | 17 | 17 | 17 | 17 | 17 | 17 | 17 | 842 | 1795 | 482 | 1725 | _697 | 171. | 4551 | 1809 |
| 249 | 17 | 1.4 | 17 | 17 | 17 | 17 | 17. | 852 | 1837 | ./11 | 1/0/ | 1750 | 1/53 | 4558 | 185. |
| 258 | 17 | 1.5 | 17 | 17 | 1. | 1. | 17 | DG2 | 1065 | 1347 | 1795 | 2276 | 17915 | 15:06 | 11811 |
| 200 | 31 | 2.5 | 18 | 37 | 17 | 27 | 17 | 877 | 1091 | 1261 | 1927 | title | 1922 | 1583 | 192 |
| 2/4 | ML | 21 | 31 | 17 | 17 | 37 | 17 | 88 | 142 | 1509 | 1859 | 543 | 1855 | 2714 | 1952 |
| 297 | 31 49 | 31 33 | 3. | 75 71 | 17 | 17 | 3.1 3.1 | 89. | 1949 | 1555 | 1883 | 1579 | 1893 | 2.49 | 199. |
| 307 | 45 | 51 | 45 | 21 | 31 | 21 | 31 | 904 | 1975 | 1852 | 1907 | 1935 | 1901 | 2117 | 2004 |
| 51.7 | - | 45 | 75 | 11 | 311 | 11 | - | 92" | 2013 | 1907 | 1951 | 1965 | 1977 | 217B | 207 |
| 727 | 79 | 15 | 59 | 15 | 31 | 11 | 200 | 933 | 2033 | .541 | 1987 | 1:85 | 2000 | 2150 | 208) |
| 397 | 61 | 75 | 79 | 95 | 25 | 45 | 59 | 94. | 2047 | 1149 | 2005 | 2006 | 2027 | 2187 | 1103 |
| 349 | 73 | 9.6 | 73 | 48 | 45 | 45 | 59 | 950 | 2000 | 1065 | 2012.5 | 2083 | 2017 | 2204 | 2111 |
| 25.5 | 87 | 72 | 73 | 50 | -6 | 12 | 73 | 967 | 2011 | 1920 | 2042 | 7047 | 2001 | 2222 | 2147 |
| 362 | 130 | 22 | 117 | 210 | 251 | 50 | 77 | 970 | 2103 | 2005 | 206± | 2075 | 2089 | 2245 | 2199 |
| 777 | 121 | 27 | 151 | 77 | 24 | 27 | 117 | 98. | 21.7 | 2.19 | 2075 | 2089 | 2103 | 2257 | 1191 |
| 387 | 115 | 101 | 115 | 53 | 73 | 32 | 104 | 991 | 2131 | 2053 | 2102 | 2106 | 2117 | 22)1 | 7300 |
| 307 | 729 | 11.5 | 129 | 27 | 87 | 2.7 | 135 | 1200 | 2147 | 7547 | 2117 | 2119 | 2171 | 2285 | 2512 |
| 704 | 171 | 141 | 157 | 101 | 101 | 11.5 | 115 | 210 | 2179 2179 | 2075 | 2145 | 2150 | 2163 2164 | 2212 | 2229 2248 |
| 225 | 155 | 157 | 174 | 139 | 15 | 129 | 157 | 2529 | 21/4 | 2.89 | 2153 | 21/5 | 21/5 | 2214 | 2292 |
| 435 | 199 | 1/1 | 155 | 143 | 229 | 143 | 155 | 209 | 21/12 | 2100 | 2174 | 2167 | 21/19 | 2127 | 7257 |
| 445 | 227 | 199 | 231 | 157 | 140 | 15/ | 100 | 1019 | 2201 | 7117 | 2190 | 7201 | 2201 | 2101 | 227 |
| 754 | 242 | 214 | 227 | 1/1 | 057 | 1/2 | 227 | 758 | 2217 | 2153 | 227.7 | 2215 | 2213 | 2255 | 2287 |
| 765 | 764 | 241 | 241 | 185 | 175 | 199 | 241 | | 2229 | 2147 | 2229 | 2229 | 2229 | 2266 | 2299 |
| 475 | 297 | 269 | 269 | 213 | - 79 | 513 | 269 | 1599 | 2241 | 21/2 | 22/13 | 2245 | 22/14 | 2359 | 2314 |
| 485 | 325 | 297 | 255 | 227 | 215 | 24. | 2:1 | 24.9 | 22/32 | 2167 | 7737 | 7757 | 2257 | 2165 | 2327 |
| 494 | 355 | 325 | 211 | دخد | 241 | 200 | 411 | . 150 | 2271 | 7201 | 2271 | 7781 | 2272 | 2397 | 234 |
| 504 | 18.1 | 751 | 119 | 203 | 255 | 2019 | 119 | .198 | 2282 | 2215 | 2294 | 5500 | 229. | 2411 | 4372 |
| 517 | 396 | 381 | 352 | 247 | 253 | 317 | 307 | 1338 | 2291 | 2242 | 2314 | 2215 | 2314 | 2425 | 1361 |
| 529 535 | 425 | 409 | 951. 400 | 325 347 | 311 | 344 | 955 413 | 1119 | 2314 | 2257 | 22527 | 2326 | 2007 | 2450 | 2083 |
| 5-14 | 179 | 765 | 122 | 267 | 157 | 700 | 451 | 149 | 2355 | 2299 | 2369 | 2970 | 2365 | 2467 | 241 |
| 557 | 107 | /91 | 451 | 797 | 155 | -717 | 170 | 2158 | 2303 | 2547 | 2307 | 2497 | 2383 | 2451 | 4427 |
| 565 | 321 | 507 | 179 | 473 | 173 | 463 | 204 | 1358 | 2207 | 2555 | 1416 | 2415 | 2410 | 2:00 | 2453 |
| 5/2 | 225 | 553 | 201 | 461 | 4:1 | 507 | 225 | 21/9 | 2725 | 2385 | 2/32 | 2453 | 2725 | 2523 | 2/07 |
| 564 | :61 | bal | 225 | 4.61 | 479 | 534 | 255 | 169 | 24.39 | 2111 | 24.62 | 7181 | 2059 | 2551 | 7497 |
| 5844 | :19 | 1500 | 224 | 501 | 707 | 577 | 793 | 197 | 2467 | 2459 | 2493 | 2509 | 248. | 2566 | 2514 |

Figura 4: Diagrama de oxidación del mosto 2 Sauvignon blanc en función de la variación de voltaje y los mostos encolados con Vegecoll®, proteína de guisante y quitina.

| High Y | Testigo | Vegeoni's 9/81 | Vegeonit* 10 (VN | | Problems on guisanne Sit gritu | Quittre IR 1/10 | Quittre 20 g/N | 90. | See Y | Testion | Regeonal S 9781 | Vegeonit 10 g/N | | Problem ce greater \$0 g/h. | Quittes 10 2/10 | Cyriffre 20 C ^{rift} |
|---------|----------|-------------------|---------------------|------|--------------------------------------|--------------------|-------------------|----------|-------|---------|--------------------|--------------------|-------|-----------------------------------|--------------------|----------------------------------|
| Woste 2 | 1/ | - 2 | 1/ | | Terreton, | - 77 | | N N | 601 | - | 491 | 156 | 511 | 1000 | 521 | 519 |
| 10 | 17 | | 17 | | | 17 | | 2 | 613 | 563 | | 179 | | 521 | 549 | |
| 70 | 17 | | 17 | | | 17 | | - | 622 | 501 | | 507 | 503 | 577 | 5// | 506 |
| 26 | 17 | | 17 | | | 17 | | 2 | 631 | 519 | | 534 | 500 | 516 | 643 | 563 |
| 40 | 17 | | 17 | | | 12 | | 9 | G11 | 147 | | 556 | | 223 | 611 | |
| 45 | 1/ | | 1/ | | | 0 | | Ž. | 655 | 74.9 | 619 | 165 | 990 | 261 | 625 | :49 |
| 2.7 | 17 | | 17 | | | 17 | | 17 | 665 | 717 | 66. | 619 | 689 | 659 | 703 | 751 |
| 70 | 17 | | 17 | | | 17 | | 17 | 6/2 | /50 | | 547 | 724 | /51 | (4) | |
| 51 | 17 | | 17 | | | 17 | | 7 | GM | 787 | 71.7 | 5/5 | 742 | 770 | 774 | 500 |
| :1 | 1/ | 17 | 1/ | 1.7 | 1/ | 1.7 | 1 | 17 | 691 | 159 | | 216 | 1900 | 100 | 101.5 | 813 |
| 100 | 1/ | | 17 | | | 1.7 | | 17 | 704 | 571 | 787 | 245 | | 143 | 877 | 555 |
| Tio. | 17 | 12 | 17 | 12 | 17 | 37 | 1 | 17 | 713 | 913 | 829 | 757 | 889 | 555 | 899 | 527 |
| 1.30 | 17 | 12. | 17 | 1.7 | 17 | 1.7 | 2.3 | 7 | 721 | 155 | 870 | 524 | 927 | 247 | 941 | :60 |
| 127 | 1/ | 17 | 1/ | 1.7 | 17 | 107 | 1 | 18 | 731 | 597 | 911 | 127 | 900 | 2179 | 911 | 1203 |
| 136 | 1/ | 1.9 | 17 | 42 | 12 | 1.7 | 1 | Ø | 744 | 1059 | 955 | 139 | 1000 | 250 | 1027 | 1,050 |
| 145 | 17 | 10 | 1/ | 1.7 | 12 | 1.2 | 3 | 8 | 754 | 1185 | 991 | 9.41 | 1035 | 753 | 1057 | 785 |
| 158 | 17 | 17 | 17 | | 17 | 37 | - 1 | 17 | 703 | 1167 | 103. | 388 | 108. | | 1109 | - 157 |
| 168 | 17 | 17. | 17 | 117 | 17 | 17 | 33 | 17 | 374 | 11/9 | 1003 | 1225 | 1121 | 1127 | 1151 | 11/9 |
| 1/1 | 1/ | 3 12 | 1/ | 112 | 14 | 1.7 | 1 | 18 | 701 | 1220 | 1105 | 1067 | 11(5) | 1,128 | 1192 | . 321 |
| 102 | 1/ | | 1. | | | 3.7 | | 14 | 794 | 1277 | | 1109 | | 7221 | 1223 | 265 |
| 200 | .17 | | 17 | | | 2.2 | | 5 | 802 | 1923 | | 1137 | 1239 | 263 | 1259 | 205 |
| 208 | - 17 | | .17 | | | 17 | | 17 | 214 | 1475 | | 2209 | 1201 | 1306 | 1905 | -247 |
| 214 | 17 | | 17 | | | 1.7 | | 8 | 821 | 1417 | 1277 | 2221 | 120 | 784 | 1211 | |
| 2282 | 1. | | 17 | | | 1.2 | | 17 | 833 | 1450 | | 1252 | 1211 | 1175 | 1377 | 1117 |
| 237 | 17 | | 17 | | | 17 | | 17 | 842 | 1515 | | 1554 | 137 | .403 | 1403 | .445 |
| 249 | 317 | | 17 | | C 23 | 17 | | 7 | 852 | 1557 | | 1570 | | -445 | 1431 | -411 |
| 250 | 17 | | 17 | | | 28 | | 2 | 1962 | 1550 | | 2361 | | 1473 | 1467 | 1535 |
| 266 | 1/ | | 1/ | | | 31 | | 1 | 87 | 11511 | | 1169 | 1/01 | 1504 | 1501 | 1545 |
| 274 | 17 | | 1. | | | 30 | | 1 | 88 | CGA | | 1117 | | 574 | 1525 | 571 |
| 287 | 17 | | 21 | | | -11 | | 15 | 89. | 1703 | | 1445 | 150. | .556 | 1557 | -559 |
| 297 | | | | | | | | | 904 | 1750 | | 3473 | | 1571 | 15/6 | |
| 307 | 51 51 | | 51 51 | | | 42 | | 16 19 | 917 | 1267 | | 1529 | 1535 | 109 | 1677 | 1000 |
| 202 | 15 | | 15 | | | 33 33 | | 9 | | 523 | | 543 | | 941 | 1653 | 697 |
| 397 | 25 | | 45 | | | 73 | | A | 933 | 1551 | | 1571 | | .560 | 1683 | 1725 |
| 349 | 45 | | 45 | | | 73 | | 3 | 941 | 1579 | | 1559 | | 1307 | 1607 | 1,755 |
| 355 | 50 | U 7.00 | 59 | | | 87 | | Ž. | 967 | 1907 | | 1015 | | (21) | 1727 | |
| 367 | 50 | | 50 | | | 87 | | 9 | 970 | 1955 | | 3741 | 1097 | 119 | 1771 | 1305 |
| 777 | 73 | | 35 | | | 101 | 10 | | 98. | 963 | | FGA | 1777 | 353 | 1767 | 521 |
| 387 | 84 | 97 | 73 | | | 117 | | | 991 | 1198 | | 1583 | | 1./81 | 1/9: | |
| 307 | 87 | | \$7 | | 115 | 129 | | | 1200 | 2006 | | 1/11 | 1/6/ | 1816 | 1900 | 1888 |
| - CUs | 101 | | 130 | | | 142 | | | 210 | 2000 | | 1225 | | 1825 | 10.12 | . \$20 |
| 312 | 115 | | 101 | | 115 | 1.77 | | | .320 | 2051 | 1797 | 1758 | | .551 | 1859 | 200 |
| 225 | 179 | 141 | 145 | 171 | 157 | 171 | 17 | 1 | 2029 | 20/5 | | 1/6/ | 1837 | .565 | 18/3 | 1005 |
| 435 | 143 | 157 | 179 | 187 | 171 | 187 | 15 | 5 | 1209 | 2103 | 12657 | 1/16 | 1865 | 1856 | 1964 | 1149 |
| 445 | 157 | 1/5 | 148 | 193 | 185 | 193 | 21 | .9 | 1049 | 2131 | 1851 | 1800 | 1847 | 1007 | 1921 | 1227 |
| 754 | 1/1 | 141 | 157 | 227 | 159 | 213 | 23 | 15 | 758 | 2146 | 1875 | 1527 | 1907 | 335 | 1945 | 556 |
| 765 | 1625 | 195 | 171 | 241 | 719 | 222 | 71 | 11 | | 2173 | 1893 | 4552 | 1935 | .563 | 1968 | 2219 |
| 475 | 100 | 213 | 193 | 237 | 241 | 271 | 25 | 5 | 1599 | 2201 | 192. | 15/9 | 1966 | .:81 | 1991 | 2.41 |
| 485 | 247 | 24. | 213 | 263 | 255 | 249 | 25 | 3 | 1065 | 2229 | 1941 | 2006 | 1991 | 2006 | 2011 | 2065 |
| 494 | 241 | 25: | 21/ | 207 | 263 | 241 | 21 | 18 | 120 | 7257 | 1951 | 157.1 | 2015 | 7283 | 2033 | 776.6 |
| 5014 | 2100 | | 215 | | | 312 | | | .108 | 2785 | 199 | 1544 | 2047 | 2761 | 205 | 2117 |
| 513 | 78/ | 797 | 7(A | 327 | 325 | 327 | | | 1338 | 2824 | 2019 | 1777 | 2075 | 2059 | 2089 | 2145 |
| 523 | 311 | | 258 | | | 353 | | | 1339 | 2256 | | 2004 | 2101 | 211/ | 2117 | |
| 535 | 250 | | 211 | | | 307 | | | 1119 | 2367 | 2077 | 7000 | | 2159 | 2145 | |
| 5-14 | 267 | | 215 | | | 2015 | | | 149 | 2425 | 2.00.00.00 | 2749 | | 7157 | 2174 | |
| 563 | 195 | | 350 | | | -909 | | | 1358 | 2467 | | 7768 | | | 2215 | |
| 565 | 423 | | 367 | | | 437 | | | 1158 | 2450 | | 2117 | | 2267 | 2243 | |
| 5/2 | 451 | | 255 | | | 49. | | | 1109 | 25/10 | | 2145 | | 2556 | 2241 | |
| 564 | 466 | | 400 | | | 479 | | | 159 | 2591 | | 2167 | | 2154 | 2314 | |
| 584 | 100 | 265 | 137 | -291 | 195 | 481 | 57 | 1 | 197 | 2655 | 2285 | 2215 | 739 | 2397 | 2355 | 2425 |

Encolado en vino

Los ensayos realizados en variedades blancas españolas, Macabeo y Airén, indican que Vegecoll® es más eficaz en la reducción de color y de compuestos fenólicos que otras colas proteicas, como el caseinato de potasio o la cola de pescado (Figura 5). La cola sintética PVPP parece ser el producto más eficaz sobre

estos parámetros cuando es realizado el encolado en vino.

En el caso del vino rosado de la variedad Bobal (Figura 6), los resultados indican que Vegecoll® disminuye igualmente el color asociado a la oxidación (color amarillo, absorbancia de 420 nm) pero las diferencias con otras colas son menos importantes.

Figura 4a

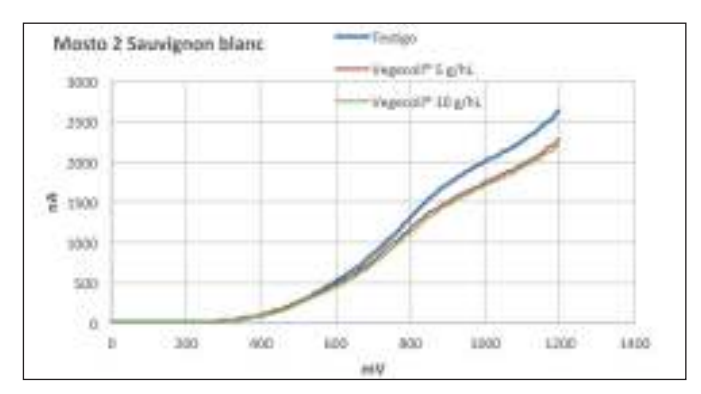


Figura 4c

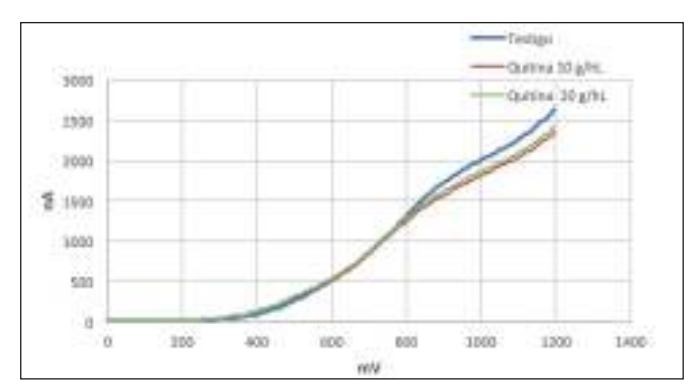


Figura 5b

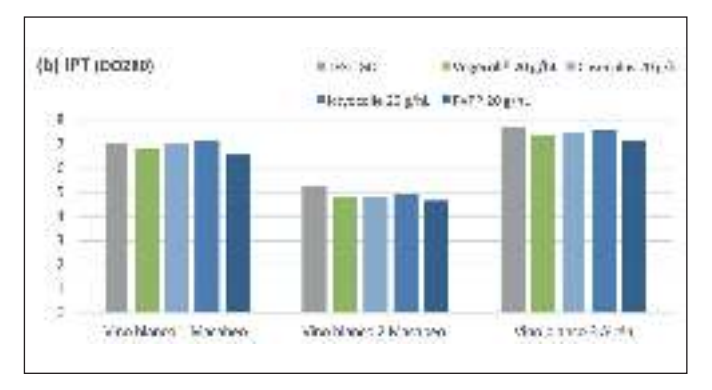


Figura 4b

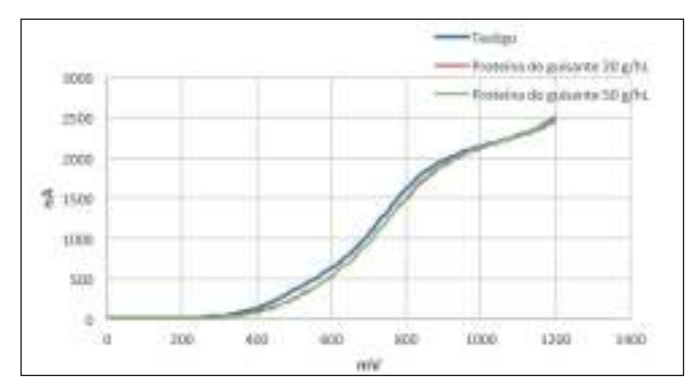


Figura 5a

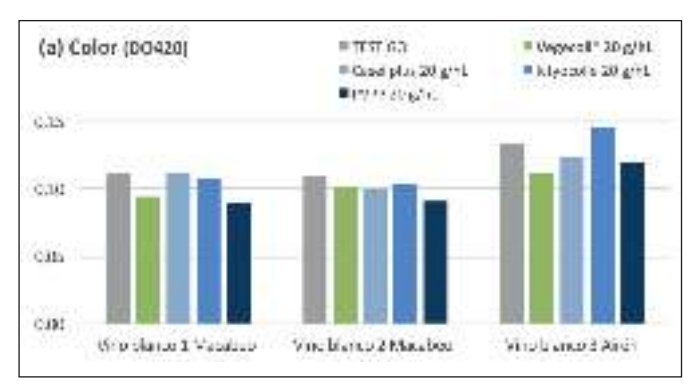
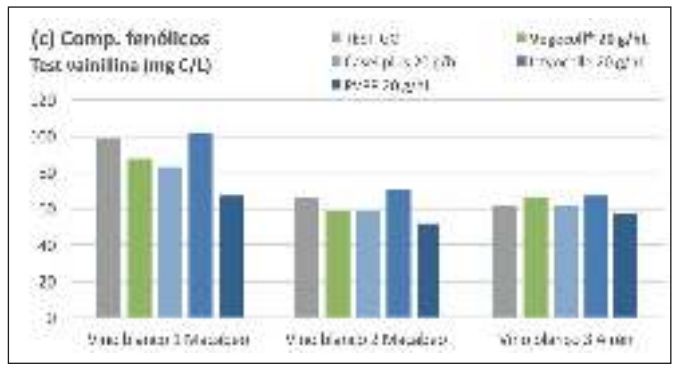


Figura 5c



Vino bionco 3 Airên

7,64

7,36

7.42

7.32

7.14

COLOR

0,134

0.11

0.124

0,145

0,119

Figura 5: Color, IPT y contenido de compuestos fenólicos (expresado en mg catequina/L) de vinos blancos de variedades Macabeo y Airén clarificados con Vegecoli®, caseinato potasico, cola de pescado v PVPP a 20 g/hL

Vino blanco 1 Macabeo

| | COLOR | IPT | CATEGUINAS |
|--------------------|-------|------|------------|
| TESTIGO | 0,112 | 7.03 | 90 |
| Vegecoll* 20 g/hL | 0,894 | 6,79 | 88 |
| Casei plus 20 g/hL | 0,111 | 7,03 | 33 |
| ktyocolle 20 g/NL | 0,107 | 7,1 | 102 |
| PVPP 20 g/hL | 0.09 | 6.53 | 97 |

Figura 6: Color, IPT y contenido de compuestos fenólicos (expresado en mg catequina/L) de un vino rosado Bobal clarificado con Vegecoll®, caseinato potasico, cola de pescado y PVPP a 20 g/hL.

Vino rosado Bobal

| | | COLOR | IPT | CATEQUINAS |
|------------|----|-------|------|------------|
| TESTIGO | | 0,785 | 8,23 | 1316 |
| Vegecall* | 20 | 0,732 | 7,05 | 1238 |
| Casel plus | 20 | 0,718 | 8,18 | 1308 |
| lctyocolle | 20 | 3,727 | 8,7 | 1304 |
| PUPP | | 0,635 | 7,57 | 1161 |

Vino blanco 2 Macabao

| COLOR | IPT | CATEQUINAS |
|-------|------|------------|
| 0,11 | 5.21 | 56 |
| 3,132 | 4.76 | 50 |
| 0,090 | 4.84 | 50 |
| 0,104 | 4,22 | 71 |
| 0,091 | 4,66 | 52 |

Figura 6a

| Color | 100420 | | | | "Und recipe Debal | | | | | | |
|-------|--------|---|--|---|-------------------|--|-----|---|----|----|--|
| | | | | | | | _ | = | | | |
| | | | | | | | | | - | | |
| | | | | | | | | | | ١ | |
| | | | | | | | -10 | | _ | Ì | |
| | | | | | | | | | _ | ı, | |
| | 8- | _ | | _ | | | - | | -8 | ŀ | |
| | | | | | - | | - | | _ | | |

CATEQUIN

60

55

62

57

57

Figura 6b

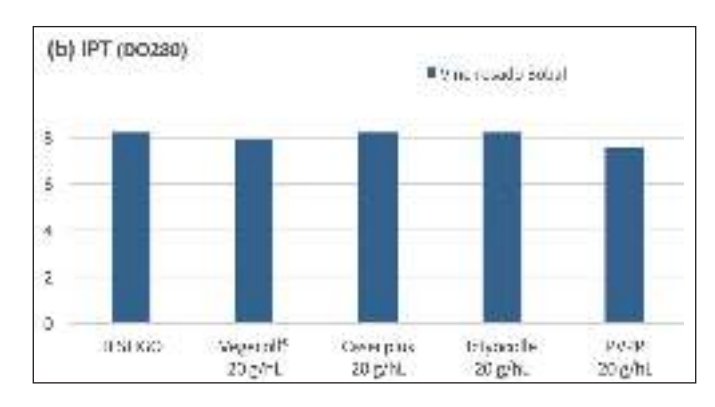
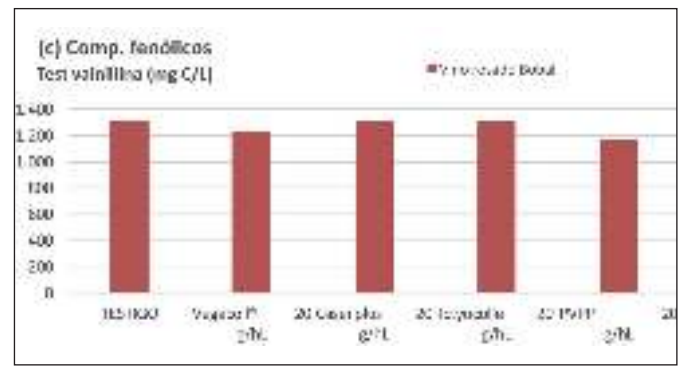


Figura 6c



Conclusión:

Los resultados de la campaña 2015 de Vegecoll® indican que este extracto reacciona de manera importante con los compuestos fenólicos, oxidados o/y oxidables de mostos y vinos blancos/rosados. Esta reactividad parece ser superior en blancos en comparación a otro tipo de colas proteicas utilizadas como el caseinato de potasio, la cola de pescado, la proteína de guisante y la quitina.

Los resultados de oxidación gracias al aparato Nomasens® Polyscan B200 indican que Vegecoll® reduce un espectro amplio de compuestos fenólicos oxidables. De esta manera, esta proteína preserva el perfil aromático asociado a los compuestos varietales tioles como se ha demostrado en publicaciones anteriores (Renouf et al., 2013).

Debido a su elevada concentración en proteína, este extracto es utilizado en dosis inferiores a 10 g/hL en vinos/mostos de gota y a dosis inferiores a 20 g/hL en los de prensa. Estas dosis son dos veces inferior a las dosis de utilización de colas tradicionales.

Referencias

CASTELLS M.C., PASCUAL C., MARTIN ESTEBAN M. & OJEDA J.A., 1986. *Allergy to white potato. Journal of Allergy and Clinical Immunology*, 78, 1110-1114.

CHEYNIER V., RIGAUD J. & MOUTOUNET, M., 1990. Oxidation kinetics of trans-caffeoyltartrate and its glutathione derivatives in grape musts. Phytochemistry, 29 (6), 1751-1753.

GAMBUTI A., RINALDI A., & MOIO L., 2012. Use of Patatin, a protein extracted from potato, as alternative to animal proteins in fining of red wine. European Food research and Technology, DOI 10.1007/S00217-012-1791-Y.

HOLM F. & ERIKSEN S., 1980. *Emulsifying properties of undenatured potato protein concentrate. Journal of Food Technology* 15, 71-83.

ITURMENDI N., MOINE V. & TEISSEDRE P.L., 2012. Les produits de levure: application au collage de vin rouge. Revue des Œnologues n°145, 11-14.

MOINE V., ITURMENDI N., RINALDI A., GAMBUTI A. & MOIO L.,

2012. Enological potentiality used of patatin a protein extracted from potato, as non-allergenic fining agent for musts and wines. Congres Macrowine, Bordeaux, juin 2012.

NIKOLANTONAKI M. Incidence de l'oxydation des composés phénoliques sur la composante aromatique des vins blancs, Université Victor Segalen Bordeaux 2, 2010.

NIKOLANTONAKI M., JOURDES M., SHINODA K., TEISSEDRE P.L., QUIDEAU S. & DARRIET, P., 2012. Identification of adducts between an odoriferous volatile thiol and oxidized grape phenolic compounds: kinetic study of adduct formation under chemical and enzymatic oxidation conditions, Journal of Agricultural and Food Chemistry, 60, 2647-2656.

LEFEBVRE, S., GERLAND, C., MAURY, C. & GAZZOLA, M. 2000. Nouvelles colles végétales : origine propriétés et performances. Revue Française d'Œnologie 184: 28-33.

RESOLUCION OENO 495-2013. OIV.

REGLAMENTO UE N° 1251/2013 de la Comisión del 3 de diciembre de 2013 que modifica el reglamento CE n° 606/2009. Revista oficial de la Unión Europea, 323, 28-30.

RENOUF V., LOUAZIL P., ITURMENDI N., MOINE V. & DAULMY B., 2013. Nouvelles alternatives pour le collage des moûts de raisins blancs : Intérêts techniques et résultats pratiques. Revue des Œnologues n°147, 30-33.

RINALDI A., GAMBUTI A. & MOIO L., 2011. Application of the SPI (Saliva Precipitation Index) to evaluate the effect of fining agents on Aglianico (Vitis Vinifera cv.) wine OENO 2011 – Actes de colloques du 9e symposium d'oenologie de Bordeaux, Ed Dunod

SARRAZIN E., SHINKARUK S., TOMINAGA T., BENNETAU B., FREÄROT E. & DUBOURDIEU D. 2007. Odorous Impact of Volatile Thiols on the Aroma of Young Botrytized Sweet Wines: Identification and Quantification of New Sulfanyl Alcohols. Journal of Agricultural and Food Chemistry, 55, 1437-1444

SUN B., RICARDO-DA-SILVA J.M. & SPRANGER I., 1998. Critical Factors of Vanillin Assay for Catechins and Proanthocyanidins. Journal of Agricultural and Food Chemistry, 46, 4267-4274. UGLIANO M., WIRTH J., BEGRAND S., DIEVAL J.B. & VIDAL S. 2015. Une nouvelle approche voltamétrique pour l'analyse des operations pré-fermentaires. Revue de Viticulture et d'œnologie de la Vallée du Rhône, n° 9, 36-45.

¡Empezamos el postconcurso!



XI EDICIÓN

TEMPRANILLOS ALMUNDO

CERTAMEN INTERNACIONAL DE VINOS BLANCOS GALLEGOS